

ろ材と懸濁粒子の凝集機構についての一考察

東北大学工学部 正員・今野弘
正員 佐藤敦久

1 はじめに

ろ材と懸濁粒子が凝集する臨界の条件としては、非対称電気二重層の相互作用のエネルギー V_T と Van der Waals 力によるエネルギー V_A の合力 $V_T (= V_R + V_A)$ の極大値 $V_{T\max}$ が 0 の場合を考えてきた^{*}(図-1の(1))。すなわち、ポテンシャル障壁が存在しなくなる条件を設定してきたわけであるが、粒子が運動エネルギーを持つている場合はポテンシャル障壁が存在しても粒子同志が凝集することになる。ろ過現象を考えた場合、懸濁粒子は水流、沈降およびブラウン運動などによる運動エネルギー E_K を有している。したがって、粒子が凝集する臨界の条件は $V_{T\max} = E_K$ と設定することができる(図-1の(2))。本報告は、懸濁粒子の持っている運動エネルギーとしてブラウン運動を考えた場合の凝集の臨界電位(凝集する臨界状態での電位)とそれから派生する知見についてまとめたものである。

2. ブラウン運動によるエネルギーを考慮したときの凝集条件

粒子が持っている運動エネルギーとしてブラウン運動を考え、そのエネルギーを E_B とすると、粒子が凝集する臨界の条件は $V_{T\max} = E_B$ となる。したがって、球形粒子1,2の場合の V_R と V_A を用いて整理すると、凝集する臨界状態は次式を満足する。

$$\beta = \left(\frac{2E_B}{4_1^2 + 4_2^2} - \frac{a_1 + a_2}{\varepsilon a_1 a_2} - I \right) / J \quad \dots (1)$$

$$\text{ここで、 } \beta = 2 \left(\frac{4_2}{4_1} \right) / \left\{ 1 + \left(\frac{4_2}{4_1} \right)^2 \right\}$$

$$I = \frac{(K H_o) e^{-2 K H_o}}{1 - e^{-2 K H_o}} + \frac{1}{2} \ln \left(\frac{1 - e^{-2 K H_o}}{e^{-2 K H_o}} \right)$$

$$J = \frac{1}{2} \ln \frac{1 + e^{-2 K H_o}}{1 - e^{-2 K H_o}} - \frac{(K H_o) e^{-2 K H_o}}{1 - e^{-2 K H_o}}$$

E_B : ブラウン運動によるエネルギー、 $4_1, 4_2$: 球形粒子1,2のStem-Gouy層境

(界面での電位、 a_1, a_2 : 球形粒子1,2の半径、 ε : 諸電率、 K : フィン

界面電位、 H_o : 球形粒子1,2の表面間の最短距離)

急速ろ過の場合、懸濁粒子径を a_1 、ろ材径を a_2 とすると $a_1/a_2 \approx 0$ と考えて、 β が大きくなる。すなわち式(1)を変形すると式(2)のようになる。

$$\frac{4_2}{4_1} = - \frac{J}{I} + \sqrt{\left(\frac{J}{I} \right)^2 + \frac{2E_B}{\varepsilon a_1 I 4_1^2} - 1} \quad \dots (2)$$

今、水温を 20°C 、懸濁粒子の半径 a_1 を $1\mu\text{m}$ とし、式(2)に基づいて $4_2/4_1$ と $K H_o$ の関係を 4_1 をパラメータにして示したのが図-2である。図には従来の研究で説明した^{*} $E_K = 0$ の場合の関係も合わせて示してあるが、これと比較すると 4_1 が小さいほど、また $4_2/4_1$ が 1.0 に近くなるほど $K H_o$ の値が小さくなることがわかる。

また、 $|E_B| > 30\text{ mV}$ の場合には $E_K = 0$ と考えた ψ_2/ψ_1 (-)

場合と大差ない。次に、臨界電位は式(2)より

$$4_{1c} = \pm \sqrt{\frac{2E_B}{\varepsilon a_1 I \left\{ 1 + \frac{2J}{I} \left(\frac{4_2}{4_1} \right) + \left(\frac{4_2}{4_1} \right)^2 \right\}}} \quad \dots (3)$$

と求められ、この時の K は、

$$K = \frac{6\varepsilon (K H_o)^2 e^{K H_o} 4_{1c} 4_{2c}}{A \left(e^{2 K H_o} - 1 \right)} \left(1 - \frac{1}{\beta e^{K H_o}} \right) \quad \dots (4)$$

A : Hamaker定数(ここでは $A = 1 \times 10^{-12}\text{ erg}$ としている)

となる。

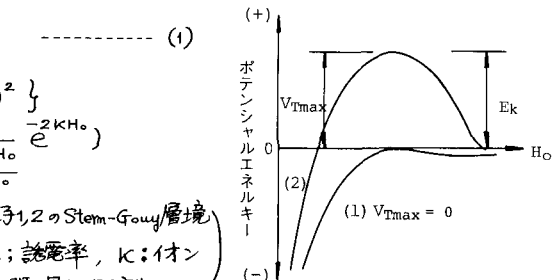


図-1 ろ材と懸濁粒子間の距離と两者に働くエネルギー

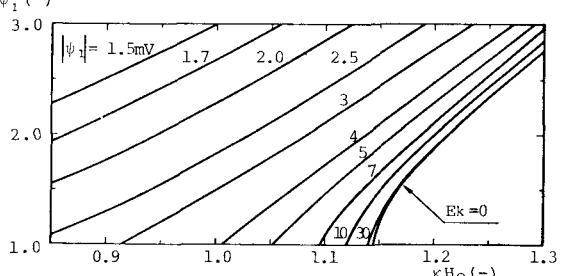


図-2 $4_2/4_1$ と $K H_o$ ($a_1 = 1\mu\text{m}$, 水温 20°C)

一方、 $E_k = 0$ と考えた場合には

$$|\psi_{1c}| = \pm \sqrt{\frac{A (e^{2K\psi_0} - 1)}{6 \epsilon (K\psi_0)^2 \left\{ e^{K\psi_0} \left(\frac{\psi_2}{\psi_1} \right) - \frac{1 + (\psi_2/\psi_1)^2}{2} \right\}}} \sqrt{K} \quad \dots\dots (5)$$

と臨界電位を求めることができる。図-3は式(3),(4),(5)に基づき、プラウン運動のエネルギーを考慮した場合と、運動エネルギーを一切考慮しない場合の臨界電位 $|\psi_{1c}|$ を合わせて示したものである（ただし、水温 20°C, $a_1 = 1\mu\text{m}$ ）。図からわかるように当然のことながら、プラウン運動によるエネルギーを考慮した方が臨界電位の絶対値が大きいものの $\log K$ が比較的大きい場合には、その差は無視できる程度と思われる。

3 水温と粒子径の凝集への影響

運動エネルギーを考慮したことにより、水温と粒子径の

効果が表われてくる。本項では $\psi_2/\psi_1 = 1$ として展開する。図-4は臨界電位の絶対値 $|\psi_{1c}|$ と $\log K$ の関係

の水温 T による変化を示したものであり、図-5(1),(2)は各 $\log K$ における $|\psi_{1c}|$ と T の関係を示したものである。これらから、(1) 水温が高くなるほど臨界電位の絶対値が大きい。(2) 臨界電位の水温に対する増加は直線的で、その増加割合は $\log K$ が大きいほど著しいことわかる。

図-6は $|\psi_{1c}|$ と $\log K$ の関係の a_1 による変化、図-7は、各 $\log K$ における $|\psi_{1c}|$ と a_1 の関係をそれぞれ示したものである。これらから (1) 懸濁粒子の直径が $2\mu\text{m}$ 以上の場合は粒子径による臨界電位の変化は無視できる (2) 直径が $2\mu\text{m}$ 以下では径が小さくなるほど臨界電位の絶対値が大きくなり、その変化傾向は $\log K$ が少しだけ大きいほど顕著に表われる などがわかる。水温と粒子径の凝集に与える効果を比較すると $\log K$ が少しだけ場合は

粒子径が大きく影響するのに対して、 $\log K$ が大きくなると水温による効果が顕著に表れてくることが明らかになった。

4. あとがき

臨界電位の絶対値が大きいということは粒子がより凝集しやすいということを物語るものであり、また、ここで得た知見はプラウン運動以外の運動エネルギーも考慮することによってより明確に、より大きな差として表われてくると思われる。なお、我々が実測できることは单一電位であり、しかもその測定精度に問題点はあるが、上記の議論は水処理方法で表われてくる界面電気的解析の一つの基礎とした。

参考文献 * 佐藤・今野：第5回衛講、1979-1.

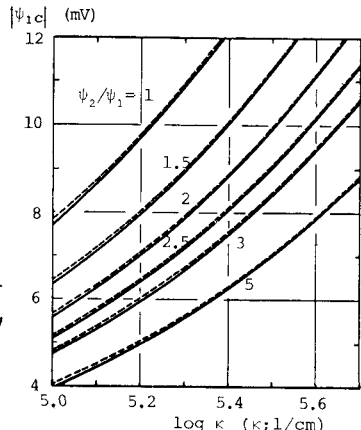


図-3 $|\psi_{1c}|$ と $\log K$ ($a_1 = 1\mu\text{m}$, 水温 20°C)

$|\psi_{1c}|$ (mV)

$\log K$ ($\kappa; 1/\text{cm}$)

$\psi_2/\psi_1 = 1$

$E_k = 0$ の時

プラウン運動力を考慮した場合

$|\psi_{1c}|$ (mV)

$\log K$ ($a_1 = 1\mu\text{m}$, 水温 20°C)

ψ_2/ψ_1

図-3 $|\psi_{1c}|$ と $\log K$ ($a_1 = 1\mu\text{m}$, 水温 20°C)

ψ_{1c} (mV)

$\log K$ ($\kappa; 1/\text{cm}$)

ψ_2/ψ_1

図-3 $|\psi_{1c}|$ と $\log K$ ($a_1 = 1\mu\text{m}$, 水温 20°C)

ψ_{1c} (mV)

$\log K$ ($\kappa; 1/\text{cm}$)

ψ_2/ψ_1

図-3 $|\psi_{1c}|$ と $\log K$ ($a_1 = 1\mu\text{m}$, 水温 20°C)

ψ_{1c} (mV)

$\log K$ ($\kappa; 1/\text{cm}$)

ψ_2/ψ_1

図-3 $|\psi_{1c}|$ と $\log K$ ($a_1 = 1\mu\text{m}$, 水温 20°C)

ψ_{1c} (mV)

$\log K$ ($\kappa; 1/\text{cm}$)

ψ_2/ψ_1

図-3 $|\psi_{1c}|$ と $\log K$ ($a_1 = 1\mu\text{m}$, 水温 20°C)

ψ_{1c} (mV)

$\log K$ ($\kappa; 1/\text{cm}$)

ψ_2/ψ_1

図-3 $|\psi_{1c}|$ と $\log K$ ($a_1 = 1\mu\text{m}$, 水温 20°C)

ψ_{1c} (mV)

$\log K$ ($\kappa; 1/\text{cm}$)

ψ_2/ψ_1

図-3 $|\psi_{1c}|$ と $\log K$ ($a_1 = 1\mu\text{m}$, 水温 20°C)

ψ_{1c} (mV)

$\log K$ ($\kappa; 1/\text{cm}$)

ψ_2/ψ_1

図-3 $|\psi_{1c}|$ と $\log K$ ($a_1 = 1\mu\text{m}$, 水温 20°C)

ψ_{1c} (mV)

$\log K$ ($\kappa; 1/\text{cm}$)

ψ_2/ψ_1

図-3 $|\psi_{1c}|$ と $\log K$ ($a_1 = 1\mu\text{m}$, 水温 20°C)

ψ_{1c} (mV)

$\log K$ ($\kappa; 1/\text{cm}$)

ψ_2/ψ_1

図-3 $|\psi_{1c}|$ と $\log K$ ($a_1 = 1\mu\text{m}$, 水温 20°C)

ψ_{1c} (mV)

$\log K$ ($\kappa; 1/\text{cm}$)

ψ_2/ψ_1

図-3 $|\psi_{1c}|$ と $\log K$ ($a_1 = 1\mu\text{m}$, 水温 20°C)

ψ_{1c} (mV)

$\log K$ ($\kappa; 1/\text{cm}$)

ψ_2/ψ_1

図-3 $|\psi_{1c}|$ と $\log K$ ($a_1 = 1\mu\text{m}$, 水温 20°C)

ψ_{1c} (mV)

$\log K$ ($\kappa; 1/\text{cm}$)

ψ_2/ψ_1

図-3 $|\psi_{1c}|$ と $\log K$ ($a_1 = 1\mu\text{m}$, 水温 20°C)

ψ_{1c} (mV)

$\log K$ ($\kappa; 1/\text{cm}$)

ψ_2/ψ_1

図-3 $|\psi_{1c}|$ と $\log K$ ($a_1 = 1\mu\text{m}$, 水温 20°C)

ψ_{1c} (mV)

$\log K$ ($\kappa; 1/\text{cm}$)

ψ_2/ψ_1

図-3 $|\psi_{1c}|$ と $\log K$ ($a_1 = 1\mu\text{m}$, 水温 20°C)

ψ_{1c} (mV)

$\log K$ ($\kappa; 1/\text{cm}$)

ψ_2/ψ_1

図-3 $|\psi_{1c}|$ と $\log K$ ($a_1 = 1\mu\text{m}$, 水温 20°C)

ψ_{1c} (mV)

$\log K$ ($\kappa; 1/\text{cm}$)

ψ_2/ψ_1

図-3 $|\psi_{1c}|$ と $\log K$ ($a_1 = 1\mu\text{m}$, 水温 20°C)

ψ_{1c} (mV)

$\log K$ ($\kappa; 1/\text{cm}$)

ψ_2/ψ_1

図-3 $|\psi_{1c}|$ と $\log K$ ($a_1 = 1\mu\text{m}$, 水温 20°C)

ψ_{1c} (mV)

$\log K$ ($\kappa; 1/\text{cm}$)

ψ_2/ψ_1

図-3 $|\psi_{1c}|$ と $\log K$ ($a_1 = 1\mu\text{m}$, 水温 20°C)

ψ_{1c} (mV)

$\log K$ ($\kappa; 1/\text{cm}$)

ψ_2/ψ_1

図-3 $|\psi_{1c}|$ と $\log K$ ($a_1 = 1\mu\text{m}$, 水温 20°C)

ψ_{1c} (mV)

$\log K$ ($\kappa; 1/\text{cm}$)

ψ_2/ψ_1

図-3 $|\psi_{1c}|$ と $\log K$ ($a_1 = 1\mu\text{m}$, 水温 20°C)

ψ_{1c} (mV)

$\log K$ ($\kappa; 1/\text{cm}$)

ψ_2/ψ_1

図-3 $|\psi_{1c}|$ と $\log K$ ($a_1 = 1\mu\text{m}$, 水温 20°C)

ψ_{1c} (mV)

$\log K$ ($\kappa; 1/\text{cm}$)

ψ_2/ψ_1

図-3 $|\psi_{1c}|$ と $\log K$ ($a_1 = 1\mu\text{m}$, 水温 20°C)

ψ_{1c} (mV)

$\log K$ ($\kappa; 1/\text{cm}$)

ψ_2/ψ_1

図-3 $|\psi_{1c}|$ と $\log K$ ($a_1 = 1\mu\text{m}$, 水温 20°C)

ψ_{1c} (mV)

$\log K$ ($\kappa; 1/\text{cm}$)

ψ_2/ψ_1

図-3 $|\psi_{1c}|$ と $\log K$ ($a_1 = 1\mu\text{m}$, 水温 20°C)

ψ_{1c} (mV)

$\log K$ ($\kappa; 1/\text{cm}$)

ψ_2/ψ_1

図-3 $|\psi_{1c}|$ と $\log K$ ($a_1 = 1\mu\text{m}$, 水温 20°C)

ψ_{1c} (mV)

$\log K$ ($\kappa; 1/\text{cm}$)

ψ_2/ψ_1

図-3 $|\psi_{1c}|$ と $\log K$ ($a_1 = 1\mu\text{m}$, 水温 20°C)

ψ_{1c} (mV)

$\log K$ ($\kappa; 1/\text{cm}$)

ψ_2/ψ_1

図-3 $|\psi_{1c}|$ と $\log K$ ($a_1 = 1\mu\text{m}$, 水温 20°C)

ψ_{1c} (mV)

$\log K$ ($\kappa; 1/\text{cm}$)

ψ_2/ψ_1

図-3 $|\psi_{1c}|$ と $\log K$ ($a_1 = 1\mu\text{m}$, 水温 20°C)

ψ_{1c} (mV)

$\log K$ ($\kappa; 1/\text{cm}$)

ψ_2/ψ_1

図-3 $|\psi_{1c}|$ と $\log K$ ($a_1 = 1\mu\text{m}$, 水温 20°C)

ψ_{1c} (mV)

$\log K$ ($\kappa; 1/\text{cm}$)

ψ_2/ψ_1

図-3 $|\psi_{1c}|$ と $\log K$ ($a_1 = 1\mu\text{m}$, 水温 20°C)

ψ_{1c} (mV)

$\log K$ ($\kappa; 1/\text{cm}$)

ψ_2/ψ_1

図-3 $|\psi_{1c}|$ と $\log K$ ($a_1 = 1\mu\text{m}$, 水温 20°C)

ψ_{1c} (mV)

$\log K$ ($\kappa; 1/\text{cm}$)

ψ_2/ψ_1

図-3 $|\psi_{1c}|$ と $\log K$ ($a_1 = 1\mu\text{m}$, 水温 20°C)

ψ_{1c} (mV)

$\log K$ ($\kappa; 1/\text{cm}$)

ψ_2/ψ_1

図-3 $|\psi_{1c}|$ と $\log K$ ($a_1 = 1\mu\text{m}$, 水温 20°C)

ψ_{1c} (mV)

$\log K$ ($\kappa; 1/\text{cm}$)

ψ_2/ψ_1

図-3 $|\psi_{1c}|$ と $\log K$ ($a_1 = 1\mu\text{m}$, 水温 20°C)

ψ_{1c} (mV)

$\log K$ ($\kappa; 1/\text{cm}$)

ψ_2/ψ_1

図-3 $|\psi_{1c}|$ と $\log K$ ($a_1 = 1\mu\text{m}$, 水温 20°C)

ψ_{1c} (mV)

$\log K$ ($\kappa; 1/\text{cm}$)

ψ_2/ψ_1

図-3 $|\psi_{1c}|$ と $\log K$ ($a_1 = 1\mu\text{m}$, 水温 20°C)

ψ_{1c} (mV)

$\log K$ ($\kappa; 1/\text{cm}$)

ψ_2/ψ_1

図-3 $|\psi_{1c}|$ と $\log K$ ($a_1 = 1\mu\text{m}$, 水温 20°C)

ψ_{1c} (mV)

$\log K$ ($\kappa; 1/\text{cm}$)

ψ_2/ψ_1

図-3 $|\psi_{1c}|$ と $\log K$ ($a_1 = 1\mu\text{m}$, 水温 20°C)

ψ_{1c} (mV)

$\log K$ ($\kappa; 1/\text{cm}$)

ψ_2/ψ_1

図-3 $|\psi_{1c}|$ と $\log K$ ($a_1 = 1\mu\text{m}$, 水温 20°C)

ψ_{1c} (mV)

$\log K$ ($\kappa; 1/\text{cm}$)

ψ_2/ψ_1

図-3 $|\psi_{1c}|$ と $\log K$ ($a_1 = 1\mu\text{m}$, 水温 20°C)

ψ_{1c} (mV)

$\log K$ ($\kappa; 1/\text{cm}$)

ψ_2/ψ_1

図-3 $|\psi_{1c}|$ と $\log K$ ($a_1 = 1\mu\text{m}$, 水温 20°C)

ψ_{1c} (mV)

$\log K$ ($\kappa; 1/\text{cm}$)

ψ_2/ψ_1

図-3 $|\psi_{1c}|$ と $\log K$ ($a_1 = 1\mu\text{m}$, 水温 20°C)

ψ_{1c} (mV)

$\log K$ ($\kappa; 1/\text{cm}$)

ψ_2/ψ_1

図-3 $|\psi_{1c}|$ と $\log K$ ($a_1 = 1\mu\text{m}$, 水温 20°C)

ψ_{1c} (mV)